

KONOIDHÉJKONZOL SZÁMÍTÁSA

A dolgozat a konzolszerűen kialakított konoidhéj erőtérét tárgyalja a lapos héjak elméletének felhasználásával. Az alkalmazott közelítő feltevések segítségével a héj metszeterőit zárt összefüggésekkel fejezi ki.

A metszeterőknek a méretezéshez szükséges maximális értékeit egyszerű képletekkel adja meg.

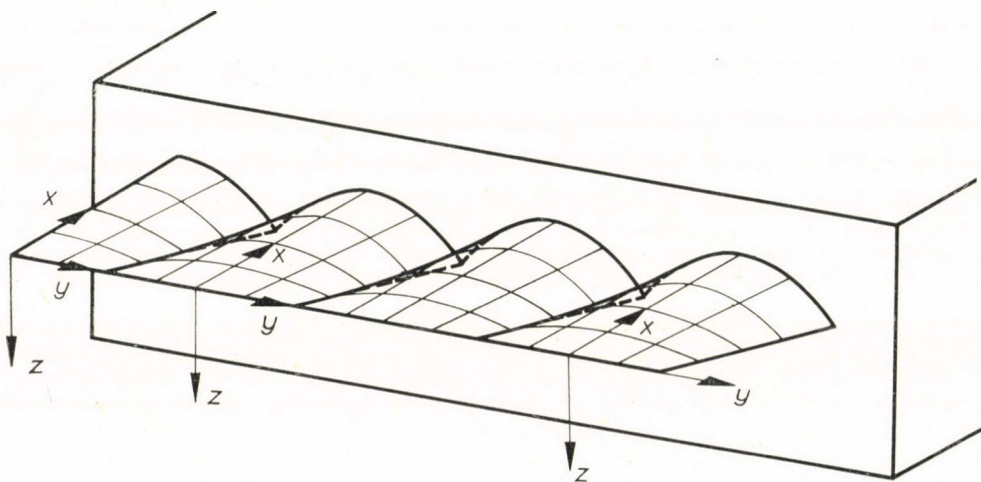
Bevezetés

A mérnöki gyakorlat a konoid alakú héjat általában boltozatszerűen működő szerkezetként alkalmazza [1]. A konoidhéj alakja igen alkalmas befogott konzolként való működésre, mert szerkezeti magassága a befogási keresztmetszet felé növekszik. A konoidhéjnak ilyen konzolos alkalmazására még nincs a gyakorlatban használható számítási módszer [1].

A következőkben egy olyan eljárást mutatunk be, mely a parabolavezérgörbéjű konoidhéj-konzolt a lapos héjak elmélete alapján vizsgálja.

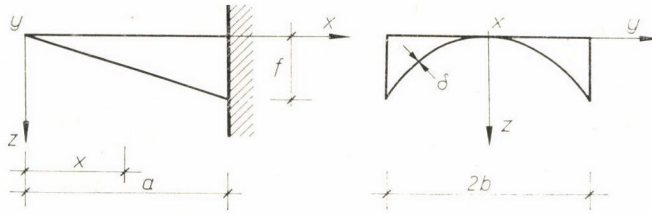
Alapfeltevések

1. Feltesszük, hogy a héj elég lapos ahhoz, hogy alkalmazható rá a lapos héjak elmélete [1], [3].



1. ábra.

2. Az előző pont miatt a héj saját súlya és hőterhe egyenletesen megoszló p_0 teherként vehető figyelembe, és a tényleges metszeterők közel megegyeznek a vetületi metszeterőkkel.



2. ábra.

3. Az ívirányú n_y metszeterőknek az alakváltozásra gyakorolt hatását az egyszerűsített héjszámítási módszerekhez hasonlóan elhanyagoljuk.

4. A vizsgált héjszerkezet az x, z síkra szimmetrikus kialakítású.

Jelölések

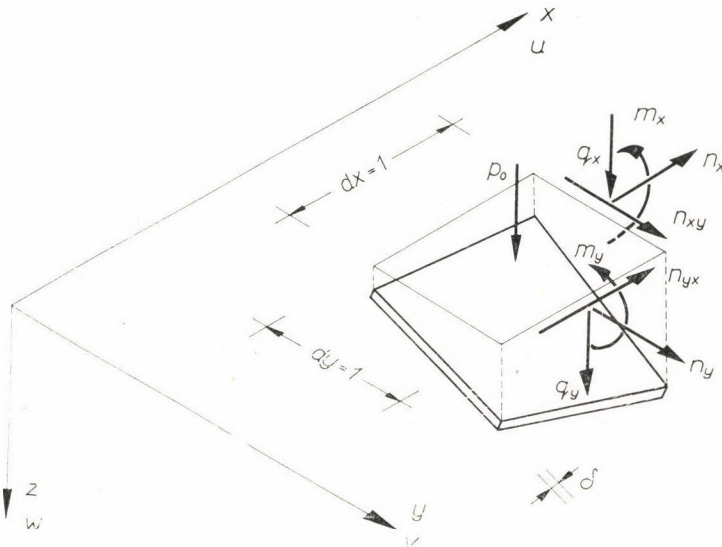
A héjszerkezet geometriai jelöléseit a 2. ábra, a metszeterők pozitív értékeit a 3. ábra tünteti fel.

E a rugalmassági tényező,

p_0 az egyenletesen megoszló teher,

F a PUCHER-féle feszültségfüggvény,

w, v, u a középfelület valamely pontjának z, y , ill. x irányú elmozdulása,



3. ábra.

I az x szerinti differenciálás jele,

a y szerinti differenciálás jele, így pl. $\frac{\partial^8 w}{\partial x^4 \partial y^4} \equiv w^{IV}$.

$$K = \frac{E\delta^3}{12(1 - \nu^2)}; D = E\delta,$$

ahol ν a harántkontrakciós együttható,

$z = f \cdot \frac{x}{a} \cdot \frac{y^2}{b^2}$ a héj középfelületének egyenlete.

A feladat egyenletei

Az alkalmazott feltevésekkel és a megadott jelölésekkel a feladat egyenlí és kompatibilitási egyenlete [1], ill [3] alapján a következő:

$$K(w^{IV} + 2w^{II''} + w^{''}) - (F^{II} \cdot z'' - 2F^{I'} \cdot z^{I'}) = p_0, \quad (1)$$

$$2F^{II''} + F^{''} + D(w^{II} \cdot z'' - 2w^{I'} \cdot z^{I'}) = 0. \quad (2)$$

Az (1) és (2) egyenletekben

$$z'' = \frac{2f}{b^2} \cdot \frac{x}{a}, \quad z^{I'} = \frac{2f}{b^2} \cdot \frac{y}{a} \quad (3)$$

a héjfelület másodrendű deriváltjai,

$$\text{és } F^{II} = n_y, \quad F^{I'} = -n_{xy}, \quad F^{''} = n_x, \quad (4)$$

a metszeterőknek az F feszültségfüggvénnyel kifejezett értékei.
A hajlítónyomatékok az

$$m_y = -Kw''; \quad m_x = -Kw^{II} \quad (5)$$

ismert összefüggésekből határozhatók meg.

A feladat feszültségfüggvénye

Az (1) és (2) egyenleteket kielégítő, és a későbbiekben részletezett kerületi feltételeknek megfelelő partikuláris megoldás a következő:

$$F = \frac{15p_0 a^2}{8f} \cdot \frac{x}{a} \left(\frac{y^2}{2} - \frac{y^4}{4b^2} \right) + B(x \cdot \ln x - x), \quad (6)$$

$$w = w_{(x)} + w_{(y)}. \quad (7)$$

A (7) összefüggést behelyettesítve (2) be,

$$w^{II} = \frac{45p_0 a^2}{8f^2 D}, \quad w^{IV} = 0. \quad (8)$$

Az $x = a$ helyen a $w_{(x)}^I = w_{(x)} = 0$ kerületi feltételt figyelembe véve

$$w_{(x)} = \frac{45p_0a^2}{16f^2D} (a - x)^2. \quad (9)$$

Így F deriváltjait behelyettesítve, az (1) egyenlet alakja:

$$w_{(y)}^{\ddot{}} = \frac{p_0}{K} \left[\left(1 + \frac{2fB}{ab^2p_0} \right) - \frac{15}{2} \left(\frac{y^2}{b^2} - \frac{y^4}{b^4} \right) \right]. \quad (10)$$

A (10) egyenletet négyszer integrálva, és a szimmetria miatt az $y = 0$ helyen a $w''' = w' = 0$ feltételeket figyelembe véve

$$w_{(y)} = \frac{p_0}{K} \left[\left(1 + \frac{2fB}{ab^2p_0} \right) \frac{y^4}{b^4} - \frac{y^6}{2b^6} + \frac{5y^8}{28b^8} + \frac{12C_2 \cdot y^2}{b^6} \right]. \quad (11)$$

A (9) és (10) összefüggéseket (7)-be behelyettesítve megkapjuk w függvényét. A B és C_2 állandókat az $y = \pm b$ perem menti statikai, ill. alakváltozási peremfeltételekből kell meghatározni.

Mivel a befogás helyén ($x = a$ nál) csak a $w^I = 0$ feltételt teljesítettük, a $w = 0$ feltételből azonban csak $w_{(x)} = 0$ -t, ezért $w_{(y)}$ itt nem lesz zérus. Ez azt jelenti, hogy a héj keresztirányú alakváltozása a befogás keresztmetszetében is kialakul, tehát megoldásunk pontosan véve olyan „félmerev” diafragma esetére vonatkozik, amely az yz síkban lehetővé teszi a héj mozgásait, de az xz -síkban nem.

Ha nem tudjuk lehetővé tenni a befogási yz síkban a konoidhéj szabad deformálódását (azaz mereven befogjuk), akkor a $w_{(y)}$ alakváltozás meggátlásából olyan peremzavarok keletkeznek, mint amilyenek egyéb héjakon is létrejönnek a héj és a peremív alakváltozás-különbségéből, s amelyeket a gyakorlatban a körhengertartály képleteivel becsülhetünk meg.

A w függvény továbbiakban szükséges y szerinti deriváltjai a következők:

$$w' = \frac{p_0}{K} \left[\left(1 + \frac{2fB}{ab^2p_0} \right) \frac{y^3}{6} - \frac{y^5}{8b^2} + \frac{y^7}{28b^4} + \frac{C_2 \cdot y}{b^2} \right], \quad (12)$$

$$w'' = \frac{p_0}{K} \left[\left(1 + \frac{2fB}{ab^2p_0} \right) \frac{y^2}{2} - \frac{5}{8} \frac{y^4}{b^2} + \frac{y^6}{4b^4} + \frac{C_2}{b^2} \right]. \quad (13)$$

Egyedülálló héj

Ha a héj a 2. ábra szerint van kialakítva, akkor a kerületi feltételek az $y = \pm b$ peremeken:

$$w'' = 0, \quad F^{II} = 0.$$

Ezek figyelembevételével az állandók:

$$B = 0, \quad C_2 = -\frac{b^4}{8}.$$

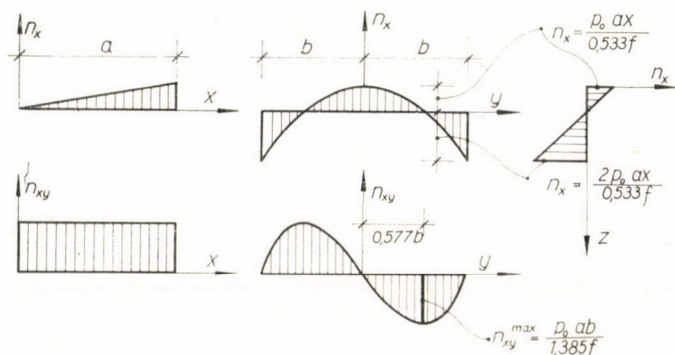
Az állandókat a (4) és (5) összefüggésekbe helyettesítve a metszeterők képletei:

$$n_x = F'' = \frac{15a^2 p_0}{8f} \cdot \frac{x}{a} \left(1 - 3 \frac{y^2}{b^2}\right), \quad (14)$$

$$n_{xy} = -F^{I'} = \frac{15ap_0}{8f} \left(\frac{y}{b} - \frac{y^3}{b^3}\right), \quad (15)$$

$$n_y = F^{II} = 0,$$

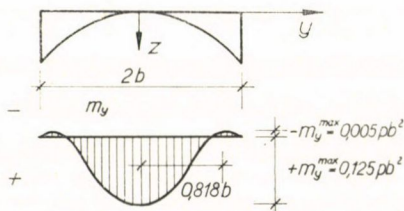
$$m_y = \frac{p_0 b^2}{8} \left(1 - \frac{4y^2}{b^2} + \frac{5y^4}{b^4} - 2 \frac{y^6}{b^6}\right). \quad (16)$$



4. ábra.

Az m_x hajlító nyomaték (5) és (8) figyelembevételével:

$$m_x = -\frac{15p_0 a^2 \delta^2}{32f^2}. \quad (17)$$



5. ábra.

A 4. ábra az n_x és n_{xy} metszeterők, az 5. ábra az m_y hajlító nyomatékok megoszlását és maximális értékeit mutatja be.

Ha az egyedülálló héj a 6. ábra szerint van kialakítva, akkor az $y = 0$ él menti kerületi feltételek:

$$w'' = 0, \quad F^{II} = 0.$$

Így az állandók:

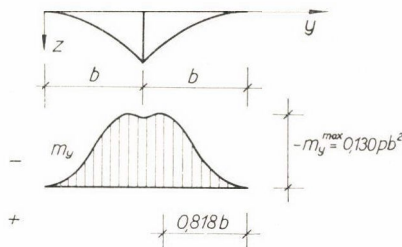
$$B = 0, \quad C_2 = 0.$$

Az állandók értékeit figyelembe véve n_x és n_{xy} a (14) és (15), az m_x nyomaték a (17) képletekből számíthatók.

Az m_y hajlítónyomaték:

$$m_y = \frac{p_0 b^2}{8} \left(-\frac{4y^2}{b^2} + \frac{5y^4}{b^4} - \frac{2y^6}{b^6} \right). \quad (18)$$

Az m_y hajlítónyomaték megoszlását és maximális értékeit a 6. ábra tünteti fel.



6. ábra.

Az ismertett megoldás esetén a héjnak az x, z síkkal párhuzamos síkokon fekvő peremvonalai teljesen szabadok lehetnek, az $x = 0$ peremen pedig peremtartót kell alkalmazni az n_{xy} nyíróerők és az m_x hajlító nyomaték felvételére. A peremtartó célszerűen a héj szegélyéből kialakított „rejtett” peremtartó lehet.

A peremtartóra jutó T erőt az n_{yx} nyíróerők 0-tól b -ig való integrálásával kapjuk meg.

A T erő értéke a 7. ábra szerint kialakított héj esetén:

$$T = -\frac{16ab^2 p_0}{5f} \left(1 - \frac{3y^2}{b^2} - \frac{2y^4}{b^4} \right), \quad (19)$$

a 8. ábra szerint kialakított héj esetén pedig a

$$T = \frac{16ab^2 p_0}{5f} \left(\frac{3y^2}{b^2} - \frac{2y^4}{b^4} \right) \quad (20)$$

összefüggésekből számítható.

A T erők megoszlását a maximális értékeit a 7. és 8. ábrák szemléltetik.

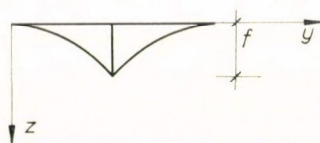
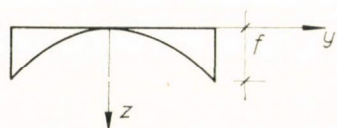
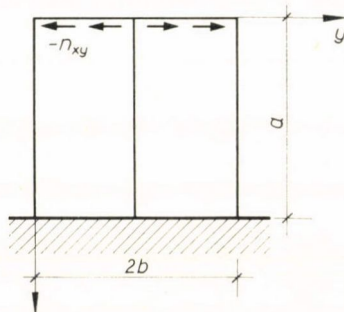
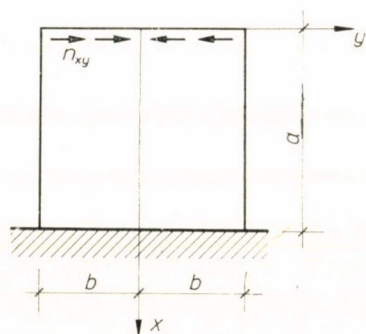
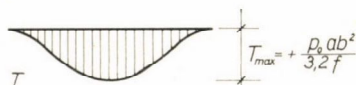
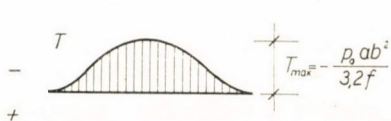
A „rejtett” peremtartó

Ha az $x = 0$ peremen nem alkalmazunk merev peremtartót, akkor a peremen az n_{xy} nyírások és m_x hajlító nyomatékok nem tudnak fellépni, és a héj szegélyében „rejtett” peremtartó alakul ki. Így az $x = 0$ helyen a külső

terhet csak az m_x nyomaték változásából származó $\frac{\partial m_x}{\partial x} = q_x$ lemeznyíróerők segítségével egyensúlyozhatjuk.

Az n_{xy} nyíróerő és az m_x nyomaték megváltozását egy olyan feltevés alapján számítjuk, mely a (2) kompatibilitási egyenletet csak közelítően elégíti ki. Ez megengedhető, mert az $x = 0$ helyi peremzavar rövid szakaszon elenyészik, és így e közelítés a héj teljes egészének erőjátékát nem befolyásolja.

Feltesszük, hogy a külső hajlító nyomatékon a héj íves keresztmetszete és a lemezkeresztmetszet hajlítási merevsége arányában osztozik.



7. ábra.

8. ábra.

Ez a feltevés azért jogos, mert a teljes konoidhéjnak és a konoidhéj-lemeznek — természetesen — azonos a lehajlása x minden értékénél, így görbületük is azonos. Minthogy pedig a konoidhéjban a (14) képlet szerint a magassággal lineárisan oszlanak meg az n_x metszeterők, a héjlemezben szintén, így a közös görbületből mind a konoidhéjban, mind a héjlemezben a saját inercianyomatékukkal arányos hajlítónyomaték ébred.

Az íves keresztmetszet inercianyomatéka:

$$J_{IV} = 0,1778 \frac{\delta b f^2}{a^2} x^2. \quad (21/a)$$

A héjlemez inercianyomatéka:

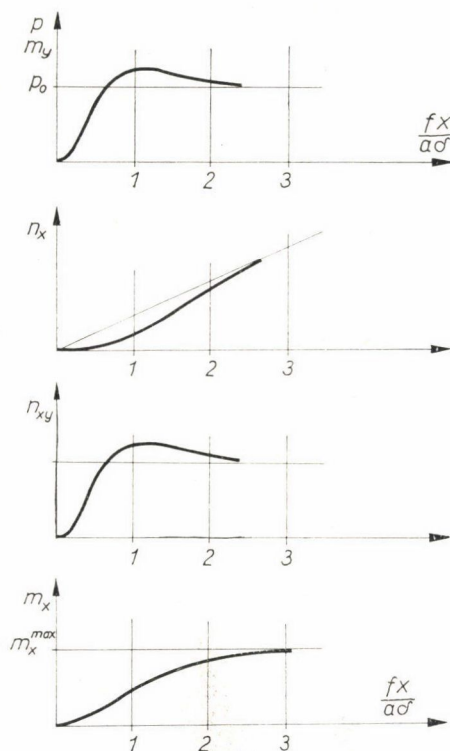
$$J_{lemez} = \frac{2b\delta^3}{12} = 0,1667b\delta^3. \quad (21/b)$$

Így a héjlemezre jutó x irányú nyomaték az

$$A = \frac{\delta^2 a^2}{1,066 f^2 x^2} \quad (22)$$

jelölés bevezetésével:

$$m_x = \frac{-p_0 \cdot x^2}{2} \cdot \frac{I_{\text{lemez}}}{I_{\text{lemez}} + I_{\text{ív}}} = \frac{-15 p_0 a^2 \delta^2}{32 f^2} \cdot \frac{1}{1 + A} \quad (23)$$



9. ábra.

Ha x elég nagy, akkor (23) nevezőjében a második tag mellett az egység elhanyagolható, és így megkapjuk a már korábban meghatározott

$$m_x^{\max} = \frac{-15 p_0 a^2 \delta^2}{32 f^2} \quad (17)$$

értéket, amelyhez m_x tart. Ezt a határértéket x növekedésével m_x rohamosan megközelíti. Ahol az ívmagasság eléri a lemezvastagság háromszorosát ($\frac{fx}{\delta a} = 3$), ott már $m_x \approx 0,9 m_x^{\max}$.

Az $x = 0$ peremen a metszeterők megoszlása a 9. ábrán vázolt módon megváltozik.

Az $x = 0$ perem mentén a héj $x \approx \frac{\delta a}{2f}$ szélességű szakaszán alakul ki „rejtett” peremtartó.

A héjra jutó p terhet a

$$p_{\text{héj}} = m_{\text{héj}}^{\text{II}} = \left[\frac{I_{\text{IV}}}{I_{\text{IV}} + I_{\text{lemez}}} \cdot \frac{px^2}{2} \right]^{\text{II}}$$
 kifejezésből számíthatjuk.

Így

$$p_{\text{héj}} = p_0 \left[\frac{6}{1+A} - \frac{9}{(1+A)^2} + \frac{4}{(1+A)^3} \right]. \quad (24)$$

Az n_{xy} nyíróerők és m_y nyomatékok x szerinti változása az (1) egyenlet figyelembevételével (24)-hez hasonló.

Héjsorok

A konoidkonzolhéjat előnyösen lehet sorozatban alkalmazni előtetők részére. (Lásd. 1. ábra.)

Több konoid összeépítése esetén az $y = \pm b$ peremek nem tudnak szabadon elfordulni és elmozdulni, a csatlakozó élek csak függőleges, z irányú elmozdulást végezhetnek. Így a csatlakozó vonalakon vízszintes erők ($n_{y(b)}$) és y irányú hajlító nyomatékok ($m_{y(b)}$) ébrednek, és ezek módosítják a héjak m_y ábráját.

A kerületi feltételek az $y = \pm b$ peremen a következők:

$$w' = 0, \quad v = 0.$$

v értéke [2] szerint a

$$v' = -z' \cdot w' \quad (25)$$

kifejezés integrálásával állítható elő.

Behelyettesítve z' és w' értékeit, és az integrálást elvégezve

$$v = \int v' dy = -\frac{p_0}{K} \cdot \frac{2fx}{ab} \left[\left(1 + \frac{2fB}{ab^2 p_0}\right) \frac{y^5}{30} - \frac{15y^7}{840b^2} + \frac{15y^9}{3780b^4} + \frac{C_2 \cdot y^3}{3b^2} \right]. \quad (26)$$

Majd (26) és (12)-t behelyettesítve, és az $y = \pm b$ perem menti kerületi feltételeket kielégítve az állandók értékei:

$$B = -\frac{0,142857 p_0 ab^2}{f}, \quad (27)$$

$$C_2 = -0,029762b^4. \quad (28)$$

Ezek után a metszeterők képletei az állandók behelyettesítésével:

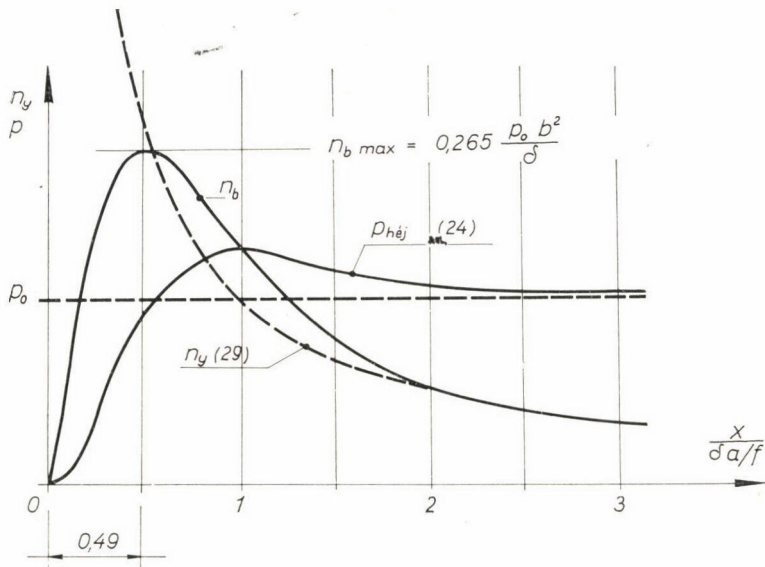
$$n_x = F'' = \frac{15a^2 p_0}{8f} \cdot \frac{x}{a} \left(1 - 3 \frac{y^2}{b^2} \right); \quad (14)$$

$$n_{xy} = -F^{I'} = \frac{15ap_0}{8f} \left(\frac{y}{b} - \frac{y^3}{b^3} \right); \quad (15)$$

$$n_y = F^{II} = -0,142857p_0b^2 \frac{a}{f \cdot x}; \quad (29)$$

$$m_y = -p_0b^2 \left(\frac{5y^2}{14b^2} - \frac{5y^4}{8b^4} + \frac{y^6}{8b^6} - 0,029762 \right). \quad (30)$$

Az m_y hajlítónyomaték megoszlását és maximális értékeit a 10., 11. ábrák közbenső héjelemein láthatjuk.



10. ábra.

A p tehernek a rejtett peremtartó okozta, a 9. ábrán vázolt megváltozása a B állandóra és így az n_y értékére is visszahat.

Ha n_y (29) szerinti képletébe az állandó p_0 helyett a (24) szerinti p terhet helyettesítjük, megkapjuk n_b -t, a megváltozott n_y közelítő összefüggését. Az n_b metszeterő x szerinti változását, maximális értékét és a maximum helyét a 10. ábra mutatja be.

A rejtett peremtartót természetesen méretezni kell az n_{xy} nyíróerőkből származó T_{\max} húzóerőre (8. ábra). Ha pedig T nyomást okoz (7. ábra), akkor kihajlásra kell ellenőrizni a héj szélét.

A p tehernek az $x = 0$ perem menti változása miatt m_y x szerinti megoszlása a p teherhez hasonlóan változik.

A héjsor szélső elemeinek erőjátéka

A szélső héjelemeknek fel kell venniük a közbensőről az $y = b$ peremen átadódó n_b vízszintes erőt és $m_{y(b)}$ nyomatékot. Tekintve, hogy a héjelemek merevsége vízszintes síkban igen nagy, így mint vízszintes konzolok támasztják meg a héjsort.

Az n_b metszeterők N eredője igen közel esik az $x = 0$ peremhez. A számítás egyszerűsítése céljából N -t a biztonság javára az $x = 0$ peremen hatónak tekintjük. A szélső héjelemben N hatására közelítően a következő többlet-metszeterők keletkeznek:

a) Teljes szélső konoid esetén (1. ábra jobboldala)

$$\Delta n_x = \frac{3N}{2b^3} xy, \quad (31)$$

$$\Delta n_{xy} = \frac{3N}{4b} \left(1 - \frac{y^2}{b^2} \right). \quad (32)$$

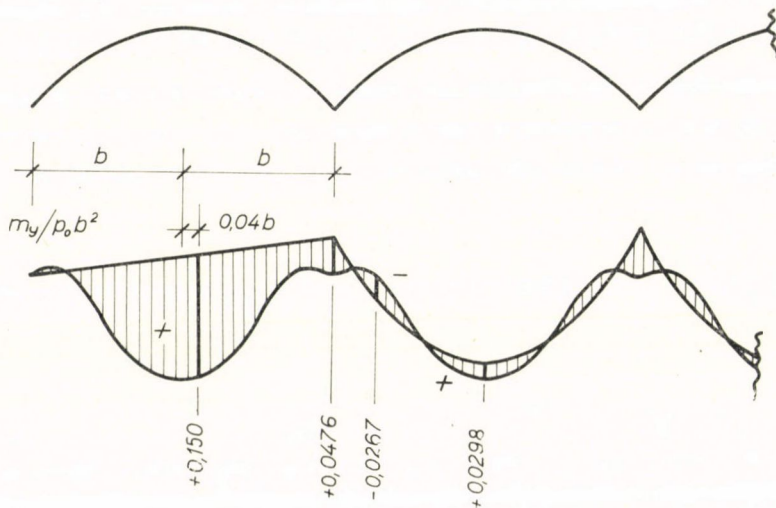
b) Szélső félkonoid esetén (1. ábra baloldala) a vízszintes erőt az első teljes konoid veszi fel, ebben keletkeznek a (31) (32) többletmetszeterők, és a szélső félkonoid nem kap n_y erőt.

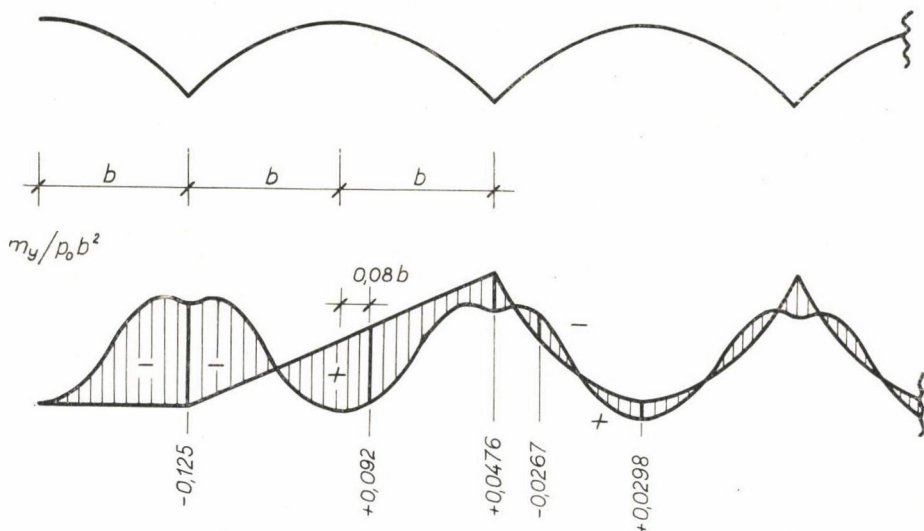
Az N erő értéke n_b integrálásával

$$N = \int_0^a n_b dx \approx 0,325 \frac{p_0 b^2 a}{f} \cdot \log_{10} \frac{\delta}{3f}.$$

A szélső héjelemet befogó szerkezetet természetesen méretezni kell a leírt $M = N \cdot a$ vízszintes hajlítónyomatéokra.

A keresztirányú m_y hajlítónyomatékok a következőképp alakulnak:





12. ábra.

Félkonoidszél (b. eset) alkalmazásakor a félkonoid nyomatékai a szabad konoidnak felelnek meg, a félkonoid melletti teljes konoidon átmenetet képeznek a következő, belső héjelem felé.

Teljes szélső konoidnál (a. eset) a nyomatékok már a szélső mezőben átmenetet képeznek.

Az átmenetet mindkét esetben úgy vehetjük figyelembe, hogy a nyomatékábráknak az átmeneti mezőben levő, a pontosabb számítások szerint lapos görbe záróvonalát a biztonság javára történő közelítéssel egyenessel helyettesítjük. Így a 11. és 12. ábrán feltüntetett nyomatékábrákat kapjuk.

Megjegyezzük, hogy az 1. ábra jobboldalának megfelelően kialakított megoldás merevítő perem nélkül csak kisebb héjajánál alkalmazható, mert a nyomott szabad szél kihajlásra veszélyes.

Az 1. ábra baloldalának megfelelő kialakítás esetén a héj széle x irányban húzott, ezért kihajlási veszély a peremen nem áll fenn.

Szám példa: Vizsgáljunk egy, a 6. ábra szerint kialakított egyedülálló konoid-konzolhéjat, melynek adatai a következők: $b = 2,0$ m, $a = 4,0$ m, $f = 1,0$ m $\delta = 0,06$ m. $p_0 = 300$ kp/m².

A maximális metszeterők:

$$(14) \text{ képlet: } x = a, y = 0 \quad n_x^{\max} \text{ húzás} = \frac{15 \cdot 0,3 \cdot 4,0^2}{8 \cdot 1,0} = 9,0 \text{ Mp/m.}$$

(4. ábra)

$$(14): x = a, y = b \quad n_x^{\max} \text{ nyomás} = \frac{15 \cdot 0,3 \cdot 4,0^2}{8 \cdot 1,0} (1-3) = -18,0 \text{ Mp/m}$$

(4. ábra)

$$\sigma_b^{\max} = \frac{18000}{6 \cdot 100} = 30 \text{ kp/cm}^2.$$

(15): $x = a, y = 0,577 b$
 (4. ábra)

$$n_{xy}^{\max} = \frac{0,3 \cdot 4,0 \cdot 2,0}{1,385 \cdot 1,0} = 1,73 \text{ Mp/m}$$

$$\tau = \frac{1730}{6 \cdot 100} = 2,9 \text{ kp/cm}^2$$

(20): $x = 0, y = b$
 (8. ábra)

$$T_{\max} = \frac{0,3 \cdot 4,0 \cdot 2,0^2}{3,20 \cdot 1,0} = 1,5 \text{ Mp}$$

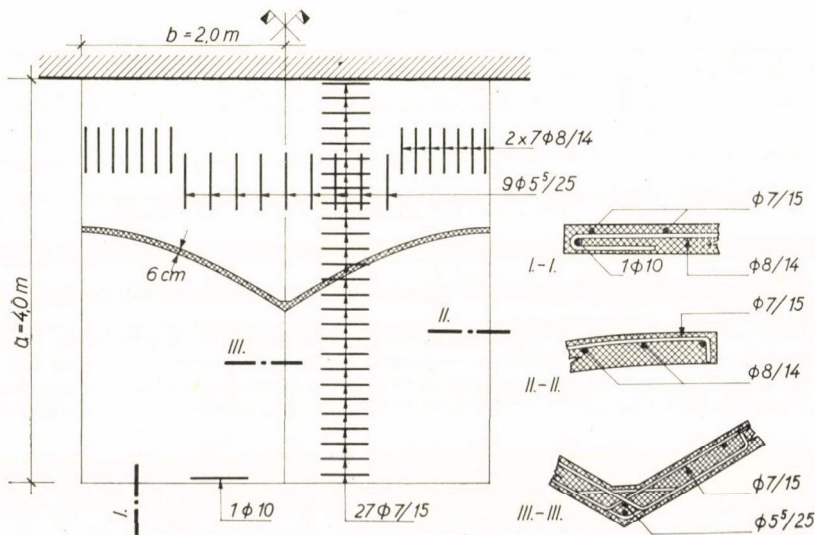
(17):

$$m_y^{\max} = \frac{-15 \cdot 0,3 \cdot 4,0^2 \cdot 0,06^2}{32 \cdot 1,0^2} = -8,1 \text{ mkp/m}$$

(18): $y = 0,182 b$
 (6. ábra)

$$m_y^{\max} = -0,13 \cdot 0,3 \cdot 2,0^2 = 156 \text{ mkp/m}$$

A vasalás elrendezését a 13. ábra mutatja be. Az adott esetben a szükséges vasalás erőssége az előírt minimális vasmennyiség követelményét éppen kielégíti. Nagyobb méretű héjaknál a vasalás az n_x , n_{xy} és m_y ábrák csökkenésének megfelelően ritkítható.



13. ábra.

Érkezett: 1965 szeptember hóban

IRODALOM

1. *Flügge, W.*: Statik und Dynamik der Schalen. Springer-Verlag. Berlin 1962.
2. *Böleskei E.*: Deformation des voiles minces. Acta Techn. Acad. Sci. Hung. Tom. V. (1962). pp. 489.
3. *Böleskei. E.*: Allgemeine Theorie der gekrümmten Schalen. Acta Techn. Acad. Sci. Hung. Tom. XXXI. (1960) pp. 391.
4. *Wlassow. W. S.*: Allgemeine Schalentheorie und ihre Anwendung in der Technik. Berlin. 1958.